

Hamburg, 30.11.2010 TNU-HH / TLi

# Staubgutachten gemäß TA Luft für die staubverursachenden Betriebsvorgänge der geplanten Deponie in Haaßel

TÜV-Auftrags-Nr.: 8000631691 / 110PGU149

Auftraggeber: Kriete Kaltrecycling GmbH

Haaßeler Weg 30

27404 Seedorf

Sachverständiger: Tom Litschke

Umfang: 35 Seiten

# Inhaltsverzeichnis

1	Aufg	abenstellung	3
	1.1	Vorgehensweise	3
	1.2	Verwendete Programme und Versionen	3
	1.3	Beurteilungsgrundlage	∠
2	Örtlic	he Verhältnisse	5
	2.1	Ortsbesichtigung	5
	2.2	Geländestruktur	5
	2.3	Nutzungsstruktur	5
	2.4	Immissionsorte	5
3	Besc	hreibung des Deponie	6
4	Quell	en und Emissionen	7
	4.1	Emissionen durch Umschlag	8
	4.2	Emissionen durch Abwehung	9
	4.3	Emissionen durch Verkehr	10
5	Ausb	reitungsrechnung	12
	5.1	Untersuchungsgebiet	12
	5.2	Aufpunkte (BUP)	12
	5.3	Ausbreitungsmodell	12
	5.4	Einfluss von Bebauung	13
	5.5	Rauhigkeitslänge	13
	5.6	Geländeunebenheiten	14
	5.7	Korngrößenverteilung der Staubemissionen	14
	5.8	Meteorologische Daten	15
6	lmmi	ssionen	18
	6.1	Zusatzbelastung durch die Deponie	18
	6.2	Diskussion der Ergebnisse	23
7	Zusa	mmenfassung	23
8	Unte	rlagen und Literatur	24
۸n	hana		26

## 1 Aufgabenstellung

Die Kriete Kaltrecycling GmbH beabsichtigt in Selsingen-Haaßel im Landkreis Rothenburg eine Deponie der Klasse I zu errichten.

Die TÜV NORD Umweltschutz GmbH & Co. KG wurde beauftragt im Rahmen des Planfeststellungsverfahrens ein Staubgutachten nach TA Luft /1/ für die staubverursachenden Betriebsvorgänge der geplanten Deponie zu erstellen. Die in // gestellten Zahlen beziehen sich auf das Kapitel "Unterlagen und Literatur".

Für das Staubgutachten soll die Zusatzbelastung für PM<sub>10</sub>, PM<sub>2.5</sub> und den Staubniederschlags durch eine Ausbreitungsrechnung gemäß TA Luft ermittelt werden.

## 1.1 Vorgehensweise

Die Vorgehensweise zur Erstellung der Staubgutachtens stellt sich wie folgt dar:

- Berechnung der zu erwartenden Emissionen durch Umschlag des Materials, Abwehung und den betrieblichen Verkehr.
- Prognose der Immissionen durch Ausbreitungsrechnungen mit dem Programm LASAT (Version 3.1) in einer AUSTAL2000-konformen Konfiguration auf der Basis von drei verschiedenen meteorologischen Ausbreitungsklassenstatistiken
- Bewertung des Immissionsbeitrags der geplanten Deponie bezüglich der Irrelevanzkriterien der TA Luft
- Bei Überschreitung der Irrelevanzkriterien der TA Luft wir zusätzlich die Vorbelastung ermittelt, mit dem Immissionsbeitrag der Deponie zur Gesamtbelastung aggregiert und bewertet.

## 1.2 Verwendete Programme und Versionen

Für die Ausbreitungsrechnung wird das Modell LASAT in der Version 3.1 verwendet. Das Ausbreitungsmodell LASAT (Lagrange-Simulation von Aerosol-Transport) berechnet die Ausbreitung von Spurenstoffen in der Atmosphäre, indem für eine Gruppe repräsentativer Stoffteilchen der Transport und die turbulente Diffusion auf dem Computer simuliert wird (Lagrange-Simulation). LASAT beruht auf einem Forschungsmodell, das 1980 entwickelt und in verschiedenen Forschungsvorhaben erprobt wurde. LASAT diente als Grundlage für die Entwicklung des Ausbreitungsmodells AUSTAL2000, dem offiziellen Referenzmodell der TA Luft. Es bietet im Vergleich zu AUSTAL2000 einen größeren Umfang von Eingabeoptionen. Die Eingangsparameter wurden jedoch so gesetzt, dass die Berechnung konform zum Ausbreitungsmodell AUSTAL2000 der TA Luft /1/ erfolgen.

## 1.3 Beurteilungsgrundlage

Die Beurteilung der Luftschadstoffbelastung für PM<sub>10</sub> und PM<sub>2.5</sub> und für den Staubniederschlag erfolgt auf Grundlage der TA Luft /1/ bzw. der 39. BImSchV /2/ mit der die EU-Luftqualitätsrichtlinie 1999/30/EG in deutsches Recht umgesetzt wurde. Hinsichtlich der dort genannten Tages- und Stundenmittelwerte für PM<sub>10</sub> ist eine bestimmte Anzahl von jährlichen Überschreitungen zulässig und in Tabelle 1 dargestellt.

Die Irrelevanzkriterien der TA Luft für  $PM_{10}$  und Staubniederschlag werden sinngemäß auch für  $PM_{2.5}$  verwendet. Nach TA Luft ist eine irrelevante Zusatzbelastung gegeben, wenn die Kenngröße für die Zusatzbelastung 3,0 vom Hundert des Immissions-Jahreswertes nicht überschreitet. Dementsprechend wurde als Irrelevanzkriterium für  $PM_{2.5}$  3 % von 25  $\mu g/m^3$  (0,75  $\mu g/m^3$ ) angesetzt.

Tabelle 1: Beurteilungswerte für die Immissionen nach TA Luft bzw. 39. BImSchV

Schadstoff	Zeitbezug	Bemerkung	Irrelevanzkriterium	Grenz-/Zielwert
Partikel PM <sub>10</sub>	Tagesmittel	-	-	50 μg/m³ / 35 Überschreitungen im Jahr
	Jahresmittel	-	1,2 μg/m³	40 μg/m³
Partikel PM <sub>2.5</sub>	Jahresmittel	Zielwert ab 2010 Grenzwert ab 2015	0,75 μg/m³ (sinnge- mäß nach TA Luft)	25 μg/m³
Staub- niederschlag	Jahresmittel	-	10,5 mg/(m²·d)	350 mg/(m²·d)

2 Örtliche Verhältnisse

Das Plangebiet befindet sich ca. 2 km ostnordöstlich von Haaßel und ca. 2 km westnord-

westlich von Anderlingen.

Die Erschließung des Plangebietes soll von den Kreisstraßen im Süden und im Norden

über eine bereits bestehende und ausreichend ausgebaute Erschließungsstraße erfolgen

(s. Abbildung 1).

2.1 Ortsbesichtigung

Eine Ortsbesichtigung des geplanten Deponiestandortes, der Ausbreitungswege und der

Immissionsorte wurde am 10.11.2010 durchgeführt.

2.2 Geländestruktur

Die Topographie im Plangebiet ist nahezu eben, der Deponiekörper selbst stellt jedoch

ein Strömungshindernis dar. Dementsprechend wurde die Topographie mit zusätzlich eingefügtem Deponiekörper in der Ausbreitungsrechnung berücksichtigt.

2.3 Nutzungsstruktur

Die Flächen im Plangebiet werden hauptsächlich landwirtschaftlich bzw. forstwirtschaftlich

genutzt.

2.4 Immissionsorte

Als Immissionsorte wurde die Punkte im Plangebiet herausgesucht, an dem sich Men-

schen nicht nur vorübergehend aufhalten(s. Abbildung 1). Diese werden gesondert tabel-

larisch ausgewertet. Darüber hinaus werden die Immissionsbeiträge von PM<sub>10</sub>, PM<sub>2.5</sub> und

Staubniederschlag für das gesamte Plangebiet kartographisch dargestellt.

Die am nächsten gelegenen Wohnhäuser liegen ca. 350 m südlich der Deponie an der

Anderlinger Straße. Daher wurde in der Ausbreitungsrechnung ein Jahr zu Beginn des

Deponieaufbaus im südlich gelegenen Bauabschnitt 1 simuliert. Dies entspricht somit dem

ungünstigsten Betriebszustand für die Wohnhäuser im Süden.

Die jeweils ungünstigsten Betriebszustände für die in ca. 1000 m Entfernung im Westen

und im Norden gelegenen Wohnhäuser wurde nicht gesondert berücksichtigt. Aufgrund

der deutlich größeren Entfernung zur Deponie ist davon auszugehen, dass die Immissio-

nen dort geringer sind.

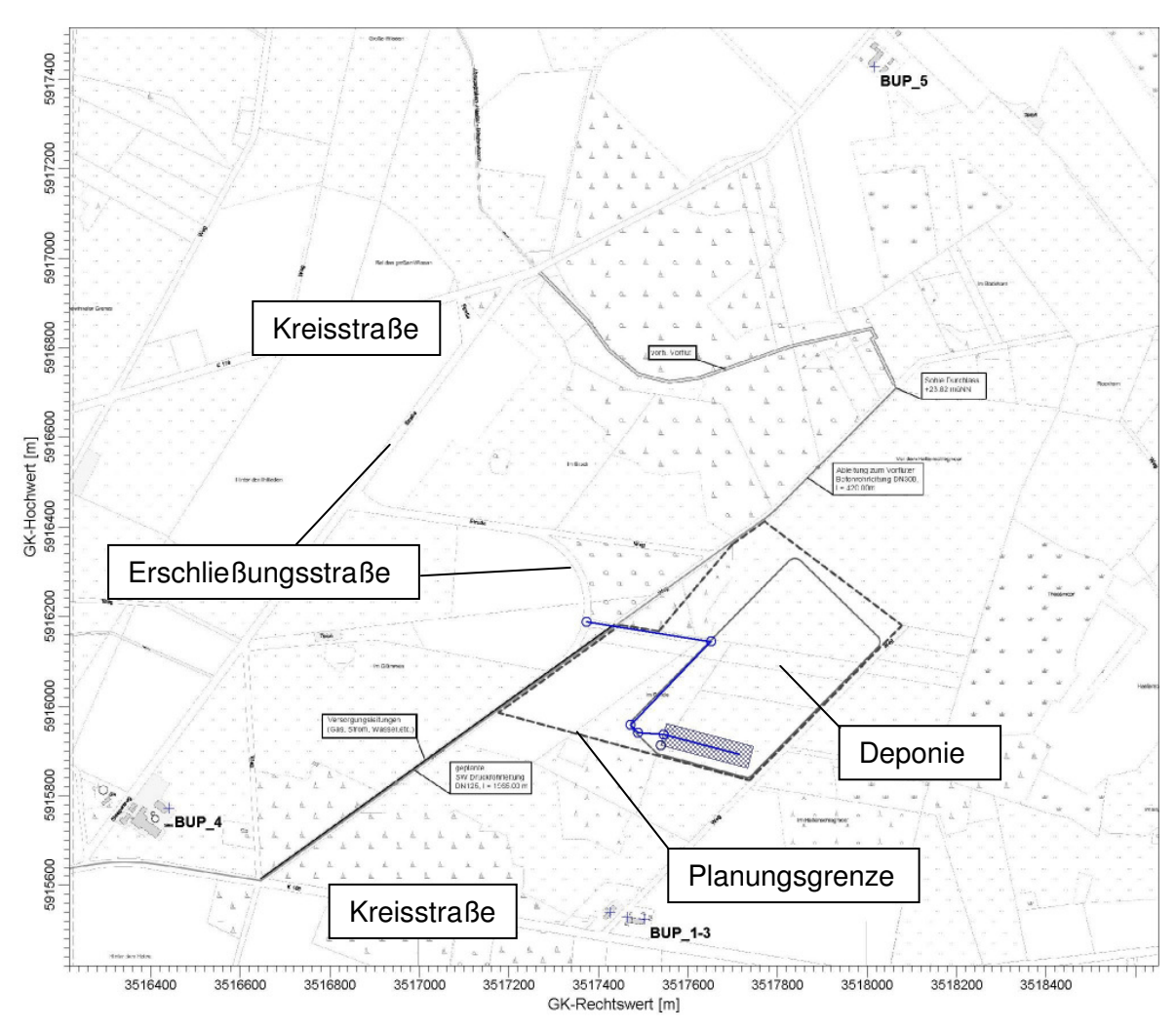


Abbildung 1: Lageplan mit Immissionsorten

# 3 Beschreibung des Deponie

Die Deponie soll in 5 Bauabschnitten von Süden nach Norden aufgebaut werden. Die Deponie wird als Deponie der Klasse I gemäß der "Verordnung über die Verwertung von Abfällen auf Deponien über Tage und zur Änderung der Gewerbeabfallverordnung" /3/geplant. Die einzubauenden Materialen müssen dementsprechend die Vorgaben der Vorordnung erfüllen.

Es wird von einem mittleren Einbauvolumen von 50000 m³/a ausgegangen. Im Südosten soll ein Monobereich für asbesthaltige Stoffe eingerichtet werden. Die asbesthaltigen Stoffe müssen gemäß den Technischen Regeln für Gefahrstoffe (TRGS) 519 /4/ sowohl geschlossen transportiert als auch gelagert werden. Bei ordnungsgemäßem Betrieb entstehen somit im Monobereich keine Staubemissionen durch Umschlag und Abwehung. Es wurde deshalb kein Asbest als Staubinhaltsstoff berücksichtigt.

Die Anlieferung erfolgt hauptsächlich durch LKW direkt zur Deponie und zu einem geringen Teil auch mit privaten PKW in Container und von dort zur Deponie. Der Anteil der

privaten Anlieferung wurde gemäß den Angaben des Betreibers mit 5 % angesetzt. Auf der Deponie wird das Material von einem Radlader oder einer Raupe weiter verteilt.

Die daraus resultierenden Emissionsquellen sind in Kapitel 4 im Detail beschrieben.

## 4 Quellen und Emissionen

Die Staubemissionen werden mit Hilfe von Emissionsfaktoren auf der Grundlage der VDI-Richtlinie 3790, Blatt 3 /5/ und Blatt 2 /6/ sowie von Berechnungsvorschriften der Amerikanischen Umweltschutzbehörde (EPA) /7/ für die einzelnen staubverursachenden Vorgänge berechnet. Als Emissionsszenario wurde ein Jahr mit dem für die nächstgelegene Bebauung ungünstigsten Betriebszustand betrachtet.

Für die LKW wurde ein Leergewicht von 15 t und ein Gesamtgewicht von 40 t und für die PKW mit Anhänger ein Leergewicht von 1,25 t und ein Gesamtgewicht von 3,75 t angesetzt. Der Radlader hat bei einem Schaufelvolumen von 6,5 m³ ein Leergewicht von 26 t. Für die Raupe wurde das gleiche Schaufelvolumen angenommen. Für die Fahremissionen wurde der Radlader stellvertretend für die Raupe bei allen Emissionen angesetzt.

Die Emissionen durch den Umschlag und die Abwehung des Materials wurden als Volumenquellen modelliert, um die sich im Jahresverlauf ändernde räumliche Position des Arbeitsbereichs auf der Deponie abzubilden. Die Emissionen werden über eine Höhe von 0-3 m emittiert.

Die Emissionen durch den Verkehr wurden als Linienquellen mit vertikaler Ausdehnung modelliert. Hier wurde die Emission ebenfalls über eine Höhe von 0-3 m emittiert.

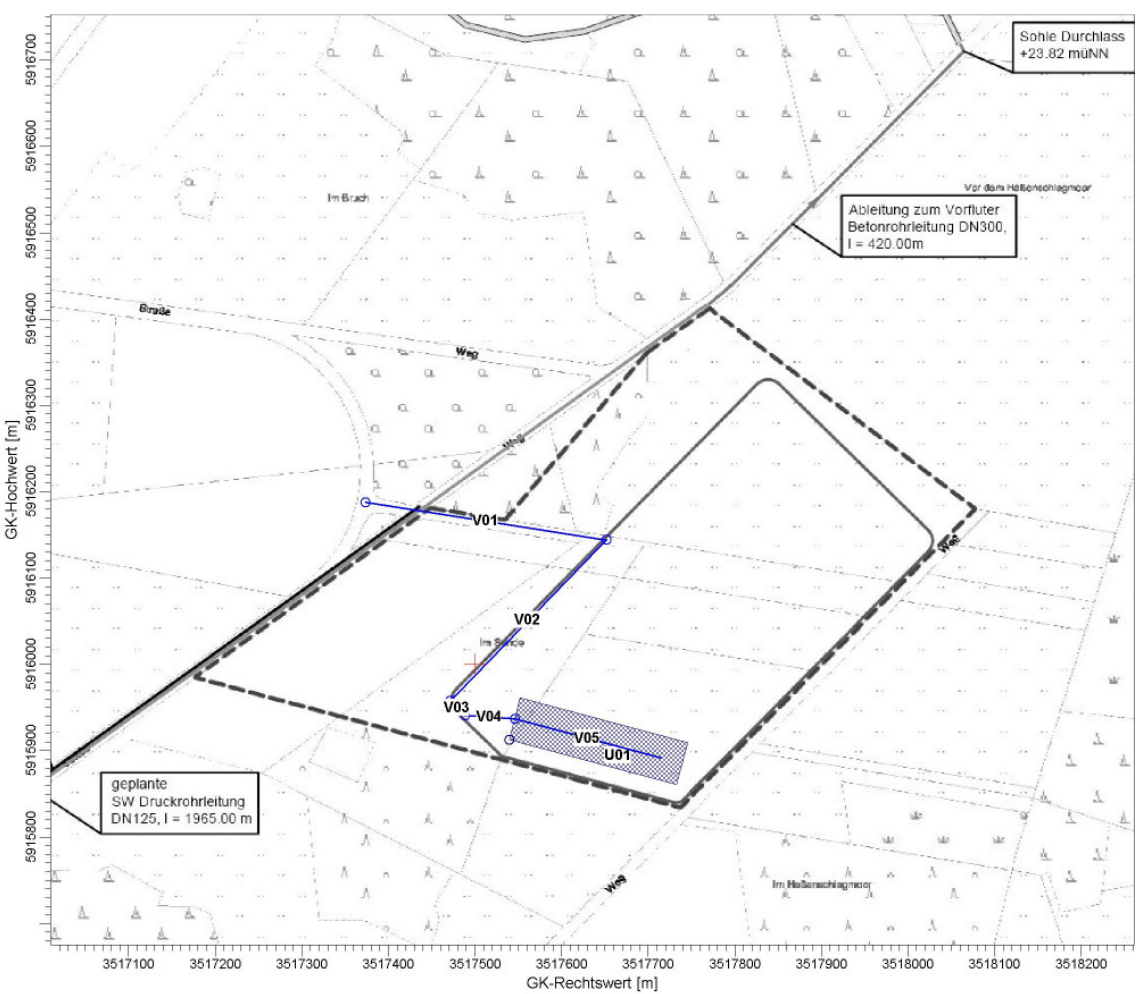


Abbildung 2: Lageplan mit Quellen. Die Quelle A01 (Abwehung) hat die gleiche Ausdehnung wie die Quelle U01 (Umschlag) und ist deshalb nicht in der Abbildung verzeichnet

## 4.1 Emissionen durch Umschlag

Der Umschlag erfolgt hauptsächlich durch die LKW und den Radlader bzw. die Raupe. Der Abwurf der privaten Anlieferung in die Container wurde bei den Umschlagsemissionen vernachlässigt, der Transport der Container auf die Halde ist jedoch in den Umschlagsemissionen enthalten.

Die mittlere Schüttdichte der Materialien wird vom Antragsteller mit 1,6 t/m³ angegeben /8/, daraus ergibt sich mit dem geplanten Einbauvolumen von 50`000 m³/a ein Umschlag von 80`000 t/a. Das Staubverhalten der Materialien wird nach /5/ mit "staub nicht wahrnehmbar" oder "schwach staubend" eingestuft. Deshalb wurde der Jahresumschlag jeweils zur Hälfte mit einem Gewichtungsfaktor gemäß VDI 3790, Blatt 3 /5/ von 10 bzw. von 31,6 berücksichtigt (s. Tabelle 2).

Der Abwurf durch die LKW wurde mit einer Fallhöhe von 1,5 m angesetzt. Das Verteilen des Materials durch den Radlader bzw. die Raupe wurde als Aufnahme mit anschließen-

dem Abwurf angesetzt. Der Geräte- und der Umfeldfaktor ergeben sich aus den Vorgaben der VDI 3790, Blatt 3.

Tabelle 2: Ermittlung der diffusen Gesamtstaubemissionen durch den Umschlag

ld	Tätig- keit	Gerät	Staub- nei- gung	Masse	Fall- höhe	Geräte- faktor	Umfeld- faktor	Schütt- dichte	Emis- sions- faktor	Um- schlags- menge	Emis - sion
				[t/Hub; t/h]	[m]				[g/tGut]	[tGut/a]	[kg/a]
U01	Abwurf	LKW	32	25	1,5	1,5	0,9	1,6	12,87	40000	515
U01	Abwurf	LKW	10	25	1,5	1,5	0,9	1,6	4,07	40000	163
U01	Aufnahme	Radlader	32	10	1	1	0,9	1,6	38,88	40000	1555
U01	Aufnahme	Radlader	10	10	1	1	0,9	1,6	12,29	40000	492
U01	Abwurf	Radlader	32	10	1	1,5	0,9	1,6	12,26	40000	490
U01	Abwurf	Radlader	10	10	1	1,5	0,9	1,6	3,88	40000	155
											3370

Die Emissionen durch den Umschlag wurden in einer Quellen (U01) zusammengefasst.

## 4.2 Emissionen durch Abwehung

Die Staubemissionen durch Abwehungen werden durch Materialeigenschaften und meteorologische Einflüsse bestimmt. Wesentlich sind dabei:

- die Größe und Form der Oberfläche,
- die Windgeschwindigkeit,
- die Korngröße des Materials,
- der Feuchtegehalt der obersten Materialschicht,
- das Staub-"Angebot" an der Oberfläche, das bei einer hohen Umschlagsrate und durch Befahren ständig "erneuert" wird.

Bei geringen Windgeschwindigkeiten ist die Haftung des Staubkorns größer als die Windkraft, es kommt nicht zur Abwehung. Unterhalb einer Windgeschwindigkeit von 4-5 m/s (gemessen in 10 m Höhe) kommt es nach der VDI 3790, Blatt 2 /6/ praktisch zu keinen Abwehungen.

Aufgrund der Verwendung von Ausbreitungsklassenstatistiken können die Emissionen nur bezüglich der Windgeschwindigkeitsklassen der TA Luft angesetzt werden. Daher wurde ab einer Windgeschwindigkeit von 3,9 m/s (Klasse 5) eine Abwehung berechnet. Die Häufigkeit der Windgeschwindigkeitklasse 5 und höher beträgt 38 %.

Als Emissionsfaktor für die Abwehung wurde 1 g/(m²-h) angesetzt. Dies entspricht einer mittleren Emission nach VDI 3790, Blatt 2 /6/. Der Emissionsfaktor wurde noch mit dem

relativen Jahresanteil von Tage mit mindestens 1 mm Niederschlag korrigiert /9/, da bei feuchter oberer Materialschicht keine Abwehung auftritt. Der um 36 % (133 Tage) reduzierte Emissionsfaktor beträgt somit 0,64 g/(m²·h).

Als abwehende Fläche wurde die Hälfte (windzugewandte Seite) der Oberfläche eine Keilstumpfes mit den in Tabelle 3 angegebenen Maßen angesetzt. Das Volumen des Keilstumpfes entspricht einem jährlichen Einbauvolumen von 50000 m³. Auf der südlichen Seite wäre die abwehende Fläche tatsächlich kleiner, da dort ein erosionssicherer Randbereich geplant ist. Die Emissionen durch Abwehung wurden jedoch als konservative Abschätzung für alle Windrichtungen mit der unten angegebenen Fläche berücksichtigt.

Tabelle 3: Ermittlung der diffusen Gesamtstaubemissionen durch Abwehung

ld	Länge	Breite	Höhe	Bösch- ungs- winkel	Aktive Fläche	Starkwind- häufigkeit	Regen- tage	Emis- sions- faktor	korrigierter Emissions- Faktor	Emis- sion
	m	m	m	0	m²	%	d	g/(m <sup>2*</sup> h)	g/(m²*h)	kg/a
A01	200	60	7	18,5	6249	38%	133	1,00	0,64	13221

Die Abwehung wurde als Volumenquellen über die gesamte Oberfläche des Keilstumpfes mit einer Emissionshöhe von 0-3 m modelliert. Die Quelle hat einen Abstand von 25 m zur Nutzungsgrenze der Deponie, da am Rand der Deponie ein erosionssicherer Bereich geplant ist und dort kein Material eingebaut wird.

## 4.3 Emissionen durch Verkehr

Die Emissionen durch Aufwirbelung und Abrieb des LKW-Verkehrs auf den unbefestigten Fahrwegen im Bereich der Halde wurden gemäß VDI-Richtlinie 3790, Blatt 3 /5/ ermittelt (s. Tabelle 4). Die Emissionen auf den befestigten Fahrwegen wurden gemäß den Vorgaben der Amerikanischen Umweltschutzbehörde (EPA) /7/ berechnet.

Für die Emissionen auf den unbefestigten Fahrwegen wurde der Anhaltswert für den Feinkornanteil von 6,4 % für eine Siedlungsabfalldeponie nach der VDI 3790, Blatt 3 verwendet. Die Anzahl der Tage mit Niederschlag beträgt wiederum 133.

Bezüglich der Emissionen auf den befestigten Fahrwegen wurde eine Feinkornbeladung von 7,4 g/m² angesetzt. Dies entspricht dem Literaturwert der EPA für Deponien. Als mittlere Fahrgeschwindigkeit der LKW und PKW wurde im Bereich der Zufahrt zur Deponie 20 km/h verwendet. Auf der gemeinsam von LKW und PKW genutzten Fahrstecke wurde das geringere Gewicht der PKW anteilig auf den Emissionsfaktor angerechnet

Die Ermittlung der Abgasemissionen (HBEFA in Tabelle 4) erfolgt mit dem Handbuch Emissionsfaktoren des Straßenverkehrs /10/ für Schwerlastverkehr und das Bezugsjahr 2010.

Für die Ermittlung der Anzahl der Fahrbewegungen wurde für die LKW eine Zuladung von 25 t, für die PKW mit Anhänger 2,5 t und für den Radlader bzw. die Raupe 10 t angesetzt. Die Fahrwege werden jeweils bei der An- und Abfahrt genutzt, dementsprechend wurden die aus dem jährlichen Massentransport (80000 t/a) berechneten Fahrbewegungen verdoppelt. Die resultierenden Fahrbewegungen sind in Tabelle 4 zusammengefasst.

Die Formel der VDI 3790, Blatt 3 bzw. der EPA liefert keine Emissionsfaktoren für Gesamtstaub bis 500 μm, sondern nur für Staub bis 30 μm Durchmesser. Der Anteil von PM10 am Gesamtstaub liegt bei Fahremissionen ausgehend von Messungen der Korngrößenverteilung im Rahmen von hausinternen Erfahrungswerten um die 10 %. Daher wurde der Gesamtstaub aus dem PM<sub>10</sub>-Wert (10·PM<sub>10</sub>) berechnet und die Differenz zum Staub bis 30 μm Durchmesser als Grobstaubs (pm-4 in Tabelle 4) angesetzt.

Tabelle 4: Emissionsfaktoren und Gesamtstaubmissionen durch den Verkehr

				HBEFA	EPA/VDI				
ld	Länge	Тур	Fahr- zeuge	pm-1	pm-1	pm-2	pm-3	pm-4	Emis- sion
	[m]		[Fz/a]	g/m*Fz	g/m*Fz	g/m*Fz	g/m*Fz	g/m*Fz	kg/a
V01	281	LKW+PKW, befestigte Str.	8000	0,0002	0,01	0,03	0,16	0,18	833
V02	260	LKW, befestigte Str.	6400	0,0002	0,01	0,03	0,17	0,20	684
V03	90	LKW, befestigte Str.	6400	0,0002	0,01	0,03	0,17	0,20	238
V04	58	LKW, unbefestigte Str.	6400	0,0002	0,04	0,39	1,17	2,70	1593
V05	88	LKW, unbefestigte Str.	6400	0,0002	0,04	0,39	1,17	2,70	2413
V06	25	Radlader, unbefestigte Str	16000	0,0002	0,05	0,41	1,24	2,85	1819
									7580

Es wird davon ausgegangen, dass die LKW gemäß TA Luft Ziffer 5.2.3.3 /1/ abgeplant werden. Weiterhin sind die Fahrwege auf denen staubförmige Emissionen entstehen können mit einer Decke aus Asphaltbeton, aus Beton oder einem gleichwertigen Material zu befestigen, in ordnungsgemäßen Zustand zu halten und entsprechend dem Verschmutzungsgrad zu säubern. Es ist außerdem sicherzustellen, dass Verschmutzungen der Fahrwege durch Fahrzeuge nach dem Verlassen des Anlagenbereiches vermieden oder beseitigt werden. Dazu sind z.B. Reifenwaschanlagen, Kehrmaschinen, Überfahrroste oder sonstige geeignete Einrichtungen einzusetzen.

Die gesamte Deponiehalde ist von einer Ringstraße umgeben. Die Fahrwege vom Eingangsbereich bis zu den Auffahrten auf die Deponiehalde werden mit in einer Asphaltbefestigung geplant. Der Teil der Ringstraße, der nur zu Wartungs- und Kontrollzwecken befahren werden muss, soll mit einer Schotterrasenbefestigung befestigt werden.

Aus dem Verwaltungsrechtsgrundsatz der Verhältnismäßigkeit ergibt sich, dass ein Übermaß an Aufwand bei nur geringem Nutzen nicht verlangt werden kann. Für den Teil der Ringstraße der nur ca. einmal pro Woche zu Wartungs- und Kontrollzwecken befahren werden muss, ist eine Asphaltbefestigung unverhältnismäßig.

## 5 Ausbreitungsrechnung

## 5.1 Untersuchungsgebiet

Nach TA Luft /1/ sind die maximalen Immissionen in einem Untersuchungsgebiet zu bestimmen, das einen Kreis mit einem Radius der 50-fachen Schornsteinhöhe um die Anlage beinhaltet. Bei Schornsteinen unter 20 m Höhe ist mindestens ein Untersuchungsgebiet mit 1 km Radius zu verwenden. Da es sich bei der Deponie ausschließlich um bodennahe Emissionsquellen handelt, wurde das Untersuchungsgebiet so gewählt, dass die Deponie und die umliegende Wohnbebauung beinhaltet sind. Das resultierende Untersuchungsgebiet hat eine Größe von 2,24\*2,24 km².

## 5.2 Aufpunkte (BUP)

Aufgrund der bodennahen Quellen liegen die berechneten Maximalwerte für PM<sub>10</sub>, PM<sub>2.5</sub> und Staubniederschlag unmittelbar an den Quellen. Die Darstellung und Bewertung der Immissionen erfolgt daher an ausgewählten Aufpunkten (nächstgelegene Wohnbebauung). Die Lage der Aufpunkte ist den Gauß-Krüger-Koordinaten der Tabelle 5 zu entnehmen (siehe auch Abbildung 1).

Tabelle 5: Lage der Aufpunkte (Angaben in m)

Aufpunkt	BUP_1	BUP_2	BUP_3	BUP_4	BUP_5
Rechtswert	3517503	3517464	3517425	3516441	3518016
Hochwert	5915524	5915528	5915538	5915772	5917427
Höhe ü. Gr.	1,5	1,5	1,5	1,5	1,5

## 5.3 Ausbreitungsmodell

Die Ermittlung der Immissions-Zusatzbelastung durch die geplante Anlage erfolgt nach Anhang 3 der TA Luft /1/. Es wurde mit dem Ausbreitungsmodell LASAT in einer AUSTAL2000 konformen Konfiguration gerechnet. Die Berechnungen erfolgten mit der derzeit aktuellen Version 3.1.

In LASAT werden punktförmige Partikel, die einen Spurenstoff repräsentieren, auf ihrem Weg durch die Atmosphäre verfolgt. Die Partikel bewegen sich mit der mittleren Strömung und werden dabei zusätzlich dem Einfluss der Turbulenz ausgesetzt. Die Geschwindigkeit, mit der die Partikel transportiert werden, setzt sich zusammen aus der mittleren Windgeschwindigkeit, der Turbulenzgeschwindigkeit und der Zusatzgeschwindigkeit. Mit der Zusatzgeschwindigkeit kann u. a. die Sedimentationsgeschwindigkeit berücksichtigt werden.

LASAT kann beliebig viele Emissionsquellen mit unterschiedlichen Quellgeometrien (Punkt-, Linien-, Flächen- und Volumenquellen) zeitabhängig verarbeiten. Die Ausbreitungsrechnung kann sowohl in einem ebenen Gelände als auch in gegliedertem Gelände und unter Gebäudeeinflüssen durchgeführt werden. In ebenem Gelände werden die zeitabhängigen meteorologischen Grenzschichtprofile gemäß VDI-Richtlinie 3783, Blatt 8 /11/, bestimmt. Hierzu werden die Größen Windrichtung und Windgeschwindigkeit in Anemometerhöhe, Mischungsschichthöhe, Rauhigkeitslänge, Verdrängungshöhe und Monin-Obukhov-Länge (Maß für die Turbulenz, Ausbreitungsklasse) benötigt. Für komplexes Gelände und Situationen, in denen Gebäudeeffekte zu berücksichtigen sind, ist dem Partikelmodell ein diagnostisches Windfeldmodell vorgeschaltet.

LASAT kann darüber hinaus die Berechnung von Deposition und Sedimentation berücksichtigen.

Die Konzentrationsverteilung des untersuchten Stoffes wird als räumlicher und zeitlicher Mittelwert über ein Volumenelement eines dreidimensionalen Auszählgitters und eines Zeitintervalls berechnet. Da die Anzahl der für die Simulation verwendeten Partikel deutlich kleiner ist als die tatsächliche Anzahl von Spurenstoffteilchen, ist das Ergebnis der Ausbreitungsrechnung immer mit einer gewissen Unsicherheit (Stichprobenfehler) verbunden (VDI-Richtlinie 3945 Blatt 3 /12/). Dieser Stichprobenfehler hat nichts mit der Güte der Simulation zu tun, sondern ergibt sich aus dem statistischen Verfahren. Durch Wahl einer ausreichenden Partikelzahl (Qualitätsstufe qs = 0) bei der Ausbreitungsrechnung wurde sichergestellt, dass die modellbedingte statistische Unsicherheit des Berechnungsverfahrens, berechnet als statistische Streuung des berechneten Wertes, beim Immissions-Jahreskennwert weniger als 3 vom Hundert des Jahres-Immissionswertes betragen hat.

## 5.4 Einfluss von Bebauung

Nach Anhang 3 Nr. 10 TA Luft /1/ sind ggf. Einflüsse von Bebauung auf die Immission im Rechengebiet zu berücksichtigen. Sofern die Quellhöhen Gebäude um mehr als das 1,7-fache überragen, können deren Einflüsse mittels der Rauhigkeitslänge  $z_o$  ausreichend berücksichtigt werden. Höhere Gebäude sind gesondert, z. B. mit geeigneten Windfeldmodellen zu berücksichtigen. Dabei sind sie dann maßgeblich, wenn ihr Abstand zur Emissionsquelle geringer ist, als das 6-fache ihrer Bauhöhe.

In der Ausbreitungsrechnung wurden keine Gebäudeeinflüsse berücksichtigt, da der Abstand der Gebäude zu den Quellen ausreichend groß ist und ein Einfluss somit vernachlässigt werden kann.

## 5.5 Rauhigkeitslänge

Die Rauhigkeitslänge ist ein Maß für die Bodenrauhigkeit. Sie definiert die Höhe, bei der bei neutraler Schichtung ein über der rauen Oberfläche logarithmisch approximiertes ver-

tikales Windprofil die Windgeschwindigkeit Null hätte. Sie ist nach Tabelle 14 in Anhang 3 der TA Luft /1/ aus den Landnutzungsklassen des CORINE-Katasters im jeweiligen Umkreis der 10-fachen Schornsteinhöhe zu bestimmen.

Für Deponien sowie Wiesen und Weiden ist dort eine Rauhigkeitslänge von 0,02 angegeben, dementsprechend wurde die Rauhigkeitslänge in der Ausbreitungsrechnung angesetzt.

#### 5.6 Geländeunebenheiten

Unebenheiten des Geländes wie Hang- und Tallagen sind in der Regel nur zu berücksichtigen, falls im Rechengebiet Höhendifferenzen zum Emissionsort von mehr als dem 0,7-fachen der Schornsteinbauhöhe und Steigungen von mehr als 1:20 auftreten. Die Steigung ist dabei aus der Höhendifferenz über eine Strecke zu bestimmen, die dem 2-fachen der Schornsteinbauhöhe entspricht /1/.

Die Geländeunebenheiten sind vernachlässigbar, der Deponiekörper selbst führt jedoch dazu, dass die Geländeunebenheiten inklusive Deponiekörper bei der Ausbreitungsrechnung berücksichtigt werden müssen. Dazu wurde die Höhe des berechneten Keilstumpfes zu den Geländehöhen addiert.

## 5.7 Korngrößenverteilung der Staubemissionen

Die Ausbreitungsrechnung für Staubemissionen ist mit dem Emissionsmassenstrom der betreffenden Korngrößenklasse gemäß Nr. 4 Anhang 3 TA Luft /1/ durchzuführen. Für die Berechnung des Staubniederschlages sind die Depositionswerte aller Korngrößenklassen zu addieren. Die Konzentrationswerte für PM<sub>10</sub> bestehen aus der Summe der Einzelwerte der Konzentration der Korngrößenklassen 1 und 2. Ist die Korngrößenverteilung innerhalb der der Klassen pm-1 und pm-2 (PM<sub>10</sub>) nicht im Einzelnen bekannt, dann sind die Kenngrößen der Klasse pm-2 zu verwenden. Ist die Korngrößenverteilung des Schwebstaubes insgesamt nicht bekannt, dann sind die Kenngrößen der Klasse pm-u zu verwenden /1/. In Tabelle 6 sind die Korngrößenverteilungen der Quellgruppen in Prozent zusammengefasst.

Tabelle 6: Korngrößenverteilung der Staubemissionen

	pm-1	pm-2	pm-3	pm-4	pm-u
Korngröße in μm	< 2,5	2,5 - 10	10 - 50	> 50	> 10
Depositions-geschwindigkeit in m/s	0,001	0,01	0,05	0,2	0,07
Quelle	%	%	%	%	%
Umschlag	5	5	-	-	90
Abwehung	5	5	-	-	90
Verkehr	1	9	31	59	-

## 5.8 Meteorologische Daten

Für die Berechnung der Immissionen werden meteorologische Daten als Jahreszeitreihe oder Ausbreitungsklassenstatistik benötigt, die für den Standort repräsentativ sind. Da der für die im Süd-Südwesten gelegenen Immissionsorte wichtige Nord-Nordost-Sektor der Windrichtungsverteilung im Jahresmittel relativ selten ist, wurden für die Berechnungen nur 10-jährige Ausbreitungsklassenstatistiken verwendet. Für die 10-jährigen Zeiträume kann davon ausgegangen werden, dass der Nord-Nordost-Sektor repräsentativ berücksichtigt wird.

Eine qualifizierte Prüfung der Übertragbarkeit der meteorologischen Daten nach TA Luft (QPR) des Deutschen Wetterdienstes /13/ für das 19 km östlicher gelegene Freetz ergab, dass die Daten der Station Bremen auf den Standort Freetz übertragbar sind. Der Standort der Deponie liegt im Vergleich zu Freetz näher an Bremen, daher ist eine Eignung der meteorologischen Daten der Station Bremen für die Ausbreitungsrechnung sehr wahrscheinlich. Der QPR zufolge sind die Stationen Bremervörde und Hamburg weniger repräsentativ, sie bilden jedoch den Nord-Nordost-Sektor der zu erwartenden Windrichtungsverteilung gut ab. Aus diesem Grund wurden die meteorologischen Daten der Stationen Bremervörde und Hamburg für Vergleichsrechnungen verwendet, um zu prüfen, welche Datenbasis zu höheren Immissionen führt und damit die Verhältnisse nicht unterschätzt.

Die vergleichenden Ausbreitungsrechnungen zeigen die höchsten Immissionen für  $PM_{10}$  und  $PM_{2.5}$  mit den Daten der Station Bremervörde. Die höchsten Immissionen für Staubniederschlag traten dagegen in der Berechnung mit der Ausbreitungsklassenstatistik der Station Bremen auf. Die Verteilungen von Windrichtung und -geschwindigkeit sowie die Ausbreitungsklassen für die Stationen Bremervörde und Bremen sind Abbildung 3 bis Abbildung 6 zu entnehmen. Die meteorologischen Daten für die Station Hamburg sind in Abbildung 10 und Abbildung 11 im Anhang dargestellt.

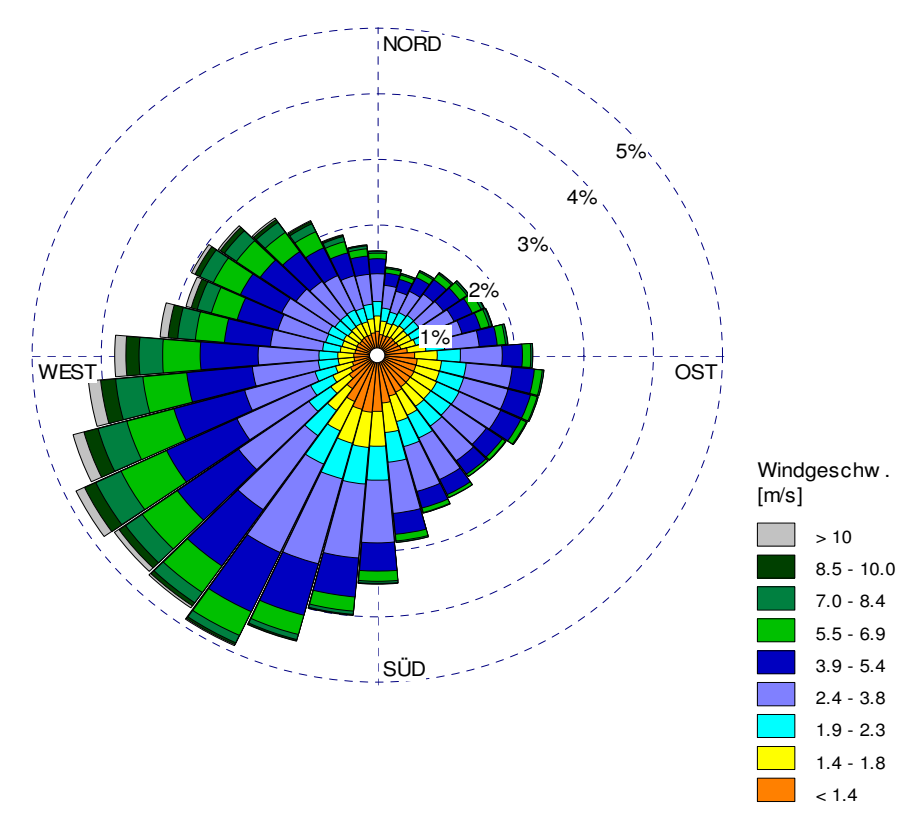


Abbildung 3: Windrose Bremervörde 1981-1990

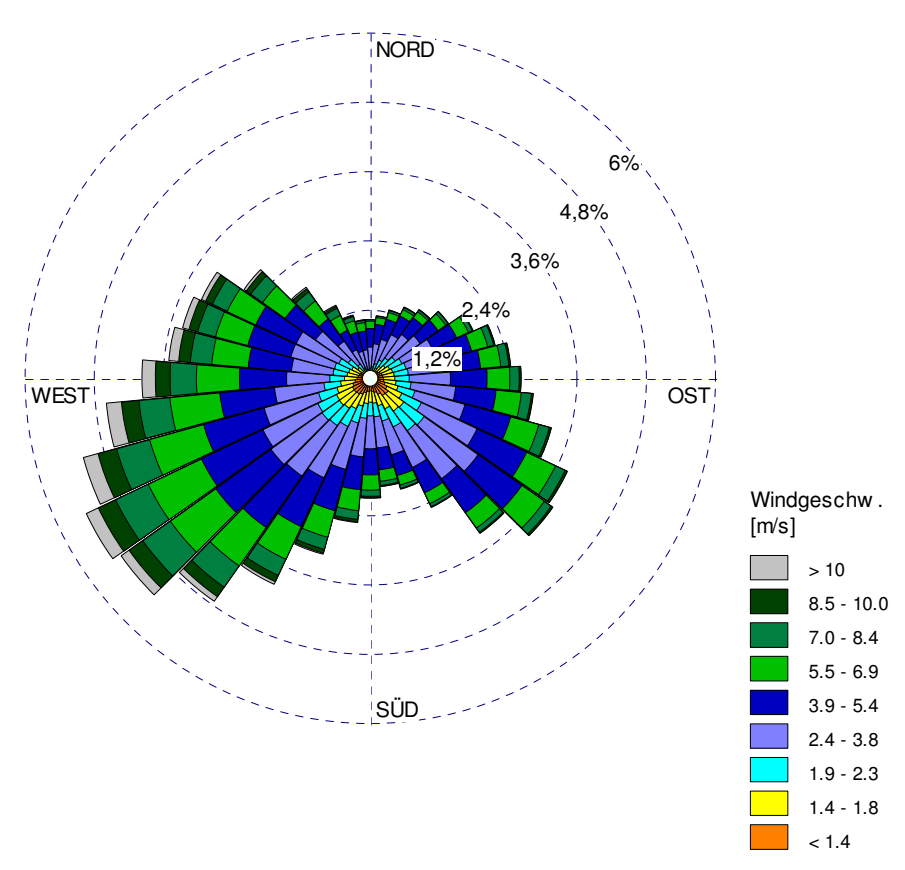


Abbildung 4: Windrose Bremen 1996-2005

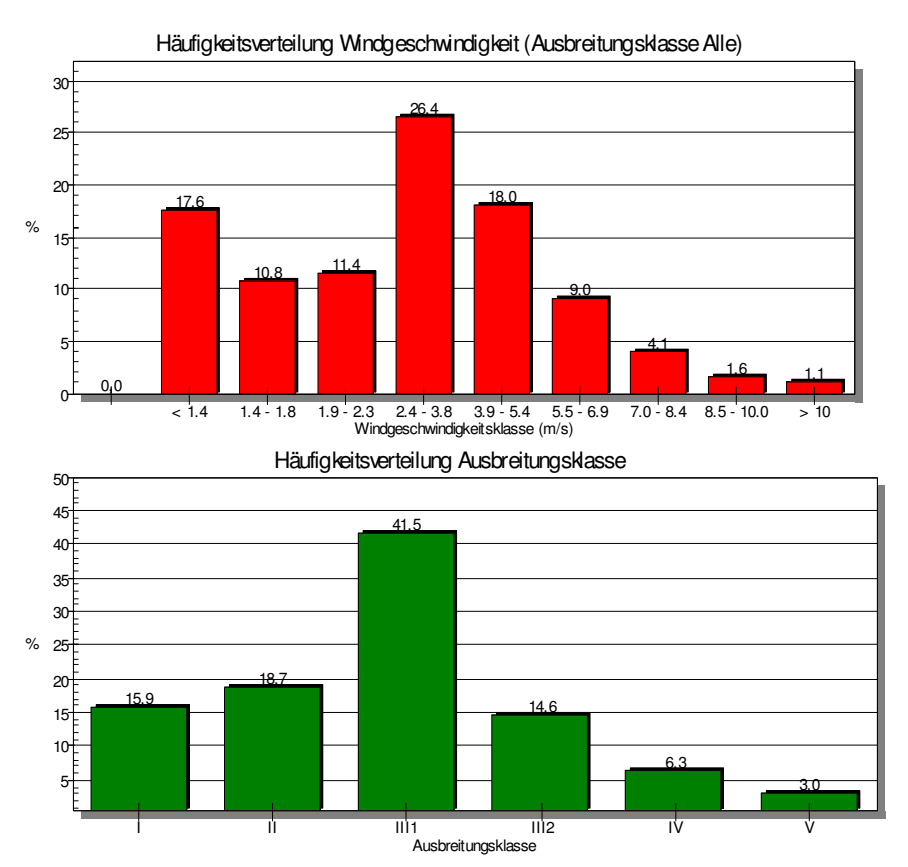


Abbildung 5: Windgeschwindigkeits- und Ausbreitungsklassen Bremervörde 1981-1990

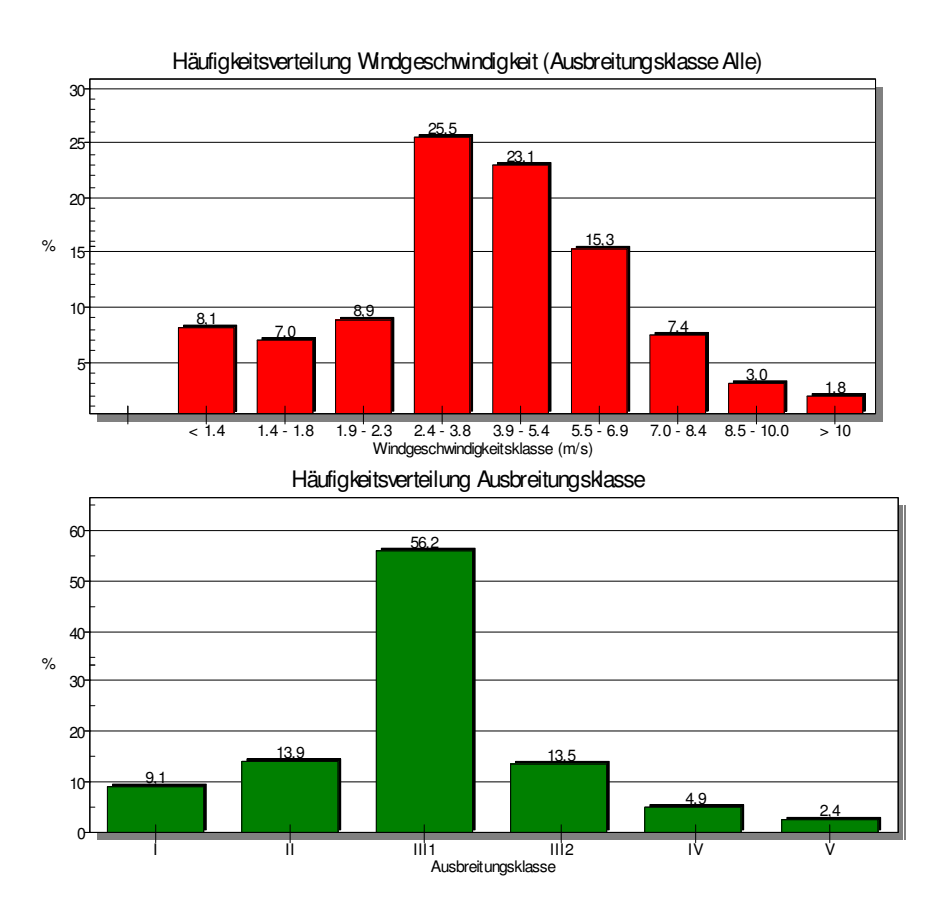


Abbildung 6: Windgeschwindigkeits- und Ausbreitungsklassen Bremen 1996-2005

Für die Station Bremervörde lagen nur meteorologischen Daten des Zeitraumes 1981-1990 vor. Ein Vergleich der Windrosen des Zeitraumes 1981-1990 mit dem Zeitraum 2000-2009 ergibt so geringe Abweichungen, dass der Einfluss auf die Immissionen vernachlässigt werden kann (s. Abbildung 12 und Abbildung 13).

## 6 Immissionen

## 6.1 Zusatzbelastung durch die Deponie

Immissionswerte besitzen bei Ausbreitungsrechnungen mit Lagrange'schen Partikelmodellen immer einen statistischen Stichprobenfehler, dieser wird in den berechneten Immissionsbeiträgen berücksichtigt. Es ist sicherzustellen, dass der statistische Stichprobenfehler 3,0 vom Hundert des Immissionsjahreswertes unterschreitet. Diese Vorgabe ist in der vorliegenden Ausbreitungsrechnung eingehalten.

In Tabelle 7 und Tabelle 8 sind für die Aufpunkte die Zusatzbelastung durch den Betrieb der Deponie inklusive des statistischen Stichprobenfehlers aus den Ausbreitungsrechnung mit den meteorologischen Daten der Stationen Bremervörde und Bremen dargestellt. Die Ergebnisse der Vergleichsrechnung mit den meteorologischen Daten der Station Hamburg liegen für alle berechneten Komponenten unter den hier dargestellten Werten. Sie sind in Tabelle 9 im Anhang dargestellt.

Tabelle 7: Zusatzbelastung durch die Deponie an den Aufpunkten bei Verwendung der meteorologischen Daten der Station Bremervörde

Auf- punkt		Staub- niederschlag	PM10	PM2.5
pulikt		mg/(m²*d)	μg/m³	μg/m³
	Zusatzbelastung	1,6	0,5	0,2
BUP_1	Stat. Stichprobenfehler	1,6%	0,4%	0,4%
	Zusatzbelastung inkl. Stichprobenfehler	1,6	0,5	0,2
	Zusatzbelastung	1,9	0,5	0,2
BUP_2	Stat. Stichprobenfehler	1,5%	0,4%	0,4%
	Zusatzbelastung inkl. Stichprobenfehler	1,9	0,5	0,2
	Zusatzbelastung	1,8	0,5	0,2
BUP_3	Stat. Stichprobenfehler	1,5%	0,4%	0,4%
	Zusatzbelastung inkl. Stichprobenfehler	1,8	0,5	0,2
	Zusatzbelastung	0,2	0,1	0,1
BUP_4	Stat. Stichprobenfehler	4,1%	0,8%	0,7%
	Zusatzbelastung inkl. Stichprobenfehler	0,2	0,1	0,1
	Zusatzbelastung	0,2	0,1	0,1
BUP_5	Stat. Stichprobenfehler	4,9%	0,8%	0,7%
	Zusatzbelastung inkl. Stichprobenfehler	0,2	0,1	0,1

Tabelle 8: Zusatzbelastung durch die Deponie an den Aufpunkten bei Verwendung der meteorologischen Daten der Station Bremen

Auf- punkt		Staub- niederschlag	PM10	PM2.5
pulikt		mg/(m²*d)	μg/m³	μg/m³
	Zusatzbelastung	2,4	0,4	0,2
BUP_1	Stat. Stichprobenfehler	1,5%	0,4%	0,4%
	Zusatzbelastung inkl. Stichprobenfehler	2,4	0,4	0,2
	Zusatzbelastung	2,8	0,4	0,2
BUP_2	Stat. Stichprobenfehler	1,4%	0,4%	0,4%
	Zusatzbelastung inkl. Stichprobenfehler	2,8	0,4	0,2
	Zusatzbelastung	2,5	0,4	0,2
BUP_3	Stat. Stichprobenfehler	1,4%	0,4%	0,4%
	Zusatzbelastung inkl. Stichprobenfehler	2,6	0,4	0,2
	Zusatzbelastung	0,5	0,1	0,1
BUP_4	Stat. Stichprobenfehler	3,0%	0,8%	0,8%
	Zusatzbelastung inkl. Stichprobenfehler	0,5	0,1	0,1
	Zusatzbelastung	0,3	0,1	0,0
BUP_5	Stat. Stichprobenfehler	4,6%	1,1%	1,0%
	Zusatzbelastung inkl. Stichprobenfehler	0,3	0,1	0,0

Eine flächenhafte Darstellung für die jeweils höchsten Immissionszusatzbelastungen der Schadstoffe  $PM_{10}$ ,  $PM_{2.5}$  und Staubniederschlag kann Abbildung 7 bis Abbildung 9 entnommen werden.

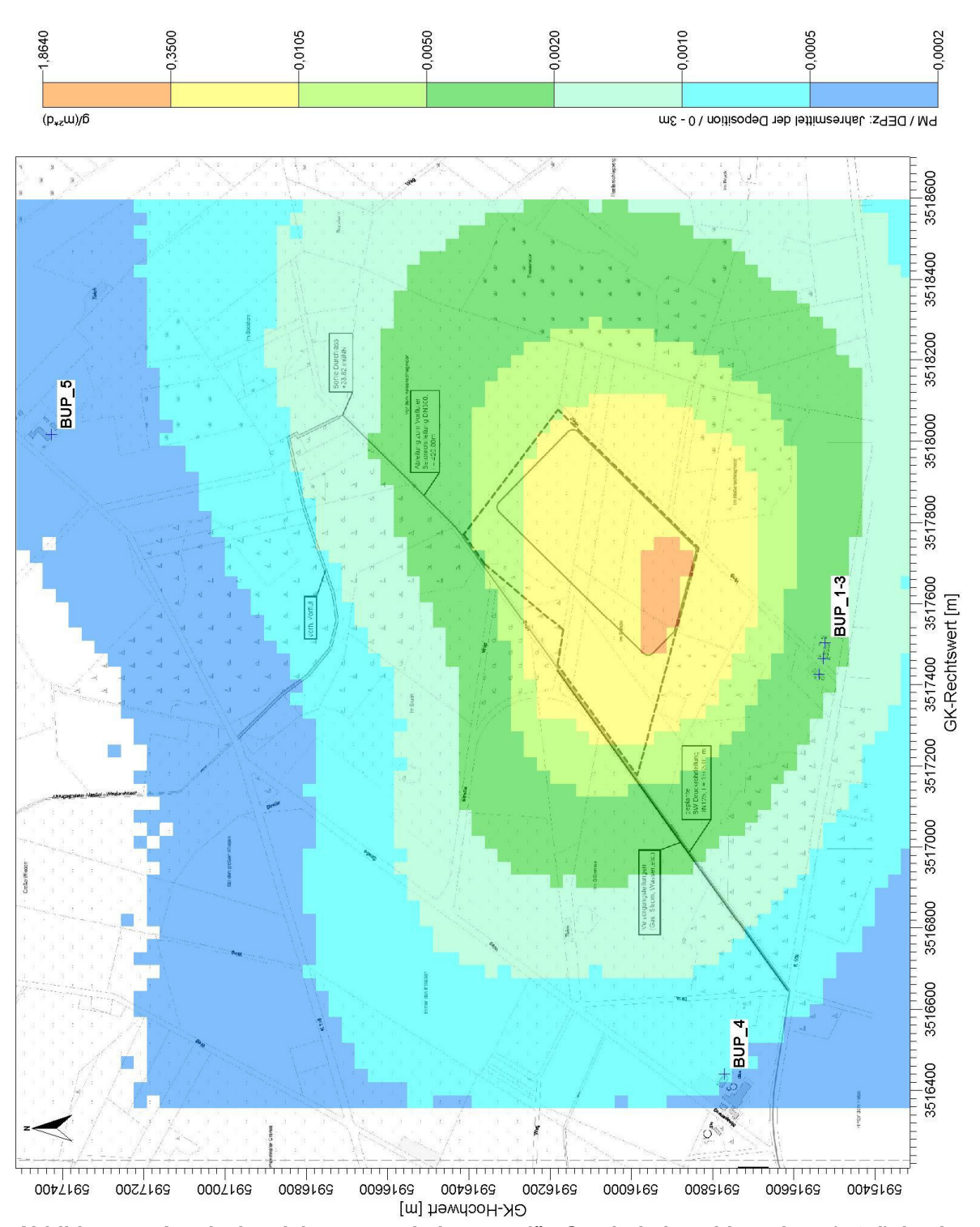


Abbildung 7: Immissionsjahreszusatzbelastung für Staubniederschlags in g/(m²·d) in der Ausbreitungsrechnung mit den meteorologischen Daten der Station Bremen

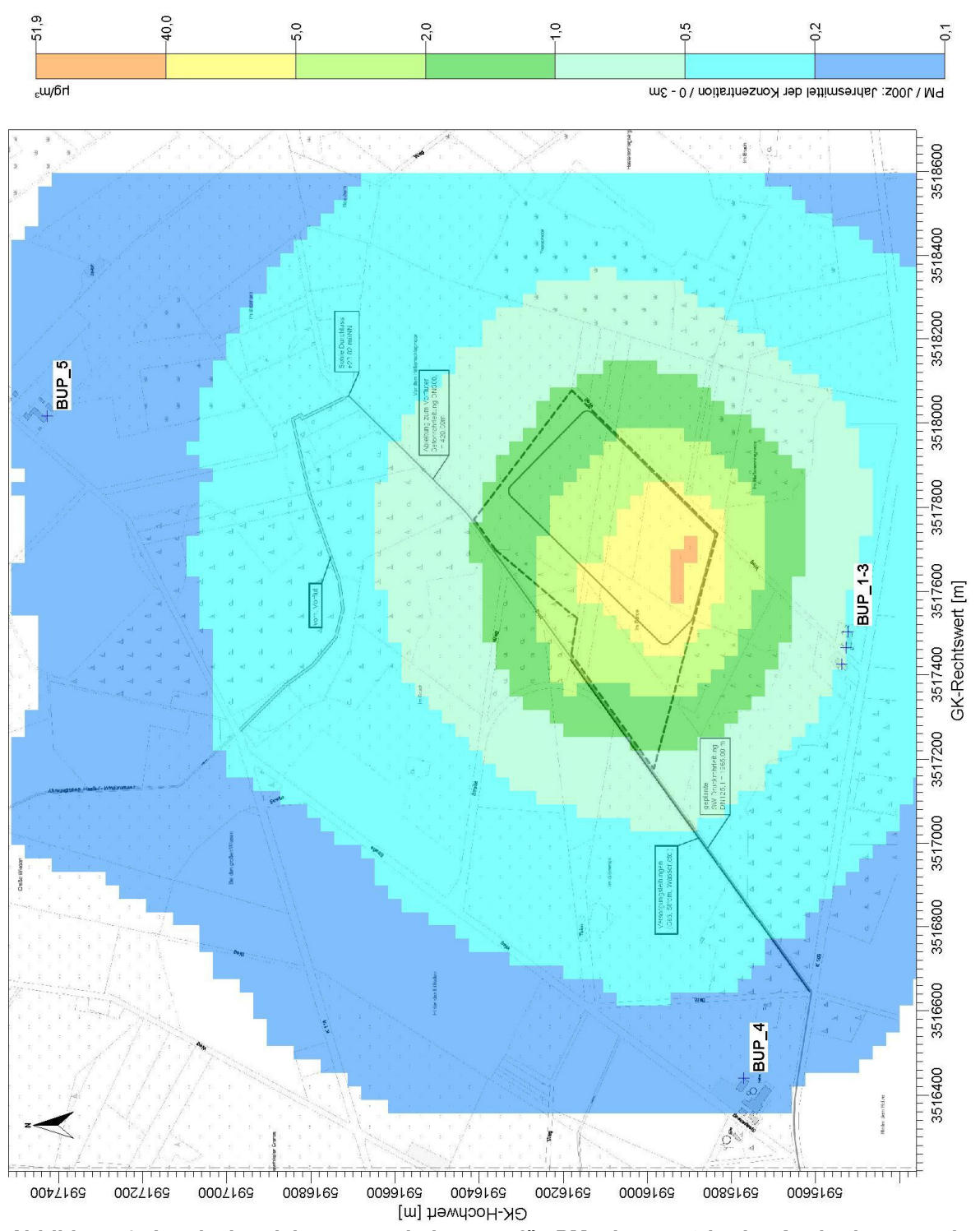


Abbildung 8: Immissionsjahreszusatzbelastung für  $PM_{10}$  in  $\mu g/m^3$  in der Ausbreitungsrechnung mit den meteorologischen Daten der Station Bremervörde

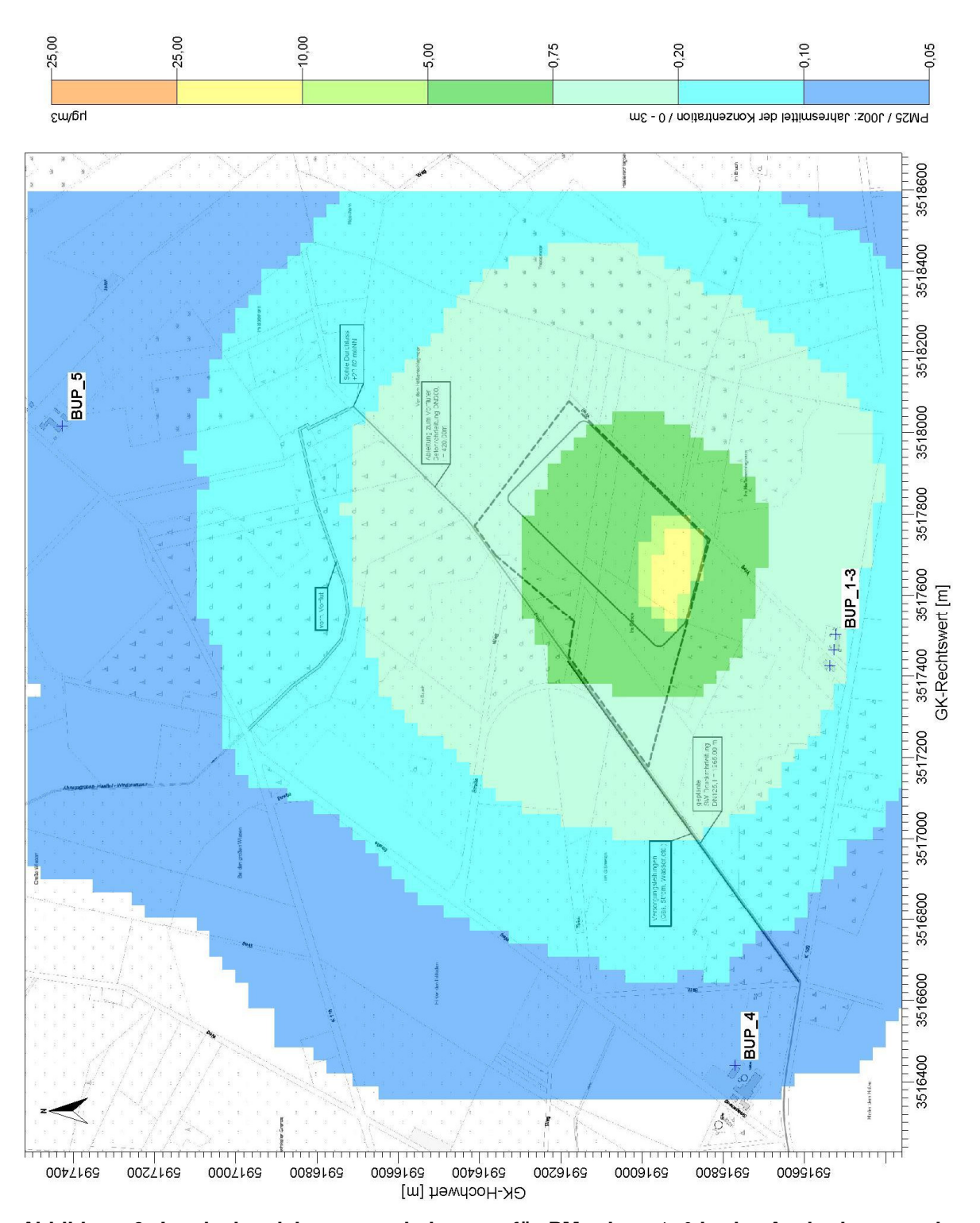


Abbildung 9: Immissionsjahreszusatzbelastung für  $PM_{2.5}$  in  $\mu g/m^3$  in der Ausbreitungsrechnung mit den meteorologischen Daten der Station Bremervörde

Diskussion der Ergebnisse

Die Zusatzbelastung der Deponie unterschreitet für den Staubniederschlag sowie für PM<sub>10</sub>

das Irrelevanzkriterium von 3,0 vom Hundert des Immissionsjahreswertes. Bei einer sinngemäßen Anwendung des Irrelevanzkriterium der TA Luft auf die Zusatzbelastung von

PM<sub>2.5</sub> ist diese ebenfalls irrelevant. Somit kann die Bestimmung weiterer Kenngrößen

(Vorbelastung, Gesamtbelastung) entfallen.

Zusammenfassung

Die Kriete Kaltrecycling GmbH beabsichtigt in Selsingen-Haaßel im Landkreis Rothenburg

eine Deponie der Klasse I zu errichten. Die TÜV NORD Umweltschutz GmbH & Co. KG

wurde beauftragt im Rahmen des Planfeststellungsverfahrens ein Staubgutachten nach TA Luft /1/ für die staubverursachenden Betriebsvorgänge der geplanten Deponie zu

erstellen. Für das Staubgutachten soll die Zusatzbelastung für PM<sub>10</sub>, PM<sub>2.5</sub> und den

Staubniederschlag durch eine Ausbreitungsrechnung gemäß TA Luft ermittelt werden.

Die Bewertung der Immissionen erfolgte für PM<sub>10</sub> und Staubniederschlag nach dem Irre-

levanzkriterium der TA Luft. Für PM<sub>2.5</sub> wurde das Irrelevanzkriterium der TA Luft sinngemäß angewendet. Danach sind die Immissionen als irrelevant einzustufen, wenn die Zu-

satzbelastung durch die Anlage weniger als 3,0 vom Hundert des zulässigen Immissions-

wertes (Jahresmittelwert) beträgt. Für die gewählten Aufpunkte wurde dieses Kriterium

eingehalten.

Die Bestimmung weiterer Kenngrößen (Vorbelastung, Gesamtbelastung) kann somit ent-

fallen.

Da keine Anhaltspunkte für eine Sonderfallprüfung nach Nr. 4.8 TA Luft vorliegen, kann

davon ausgegangen werden, dass schädliche Umwelteinwirkungen durch die Anlage

nicht hervorgerufen werden können.

Dipl.-Umweltwiss. Tom Litschke

Sachverständiger der

TÜV NORD Umweltschutz GmbH & Co. KG

## 8 Unterlagen und Literatur

- /1/ Erste Allgemeine Verwaltungsvorschrift zum Bundes-Immissionsschutzgesetz (Technische Anleitung zur Reinhaltung der Luft TA Luft) vom 24. Juli 2002 (GMBI 2002 S. 511–605)
- 39. BlmSchV (2010): Neununddreißigste Verordnung zur Durchführung des Bundes-Immissionsschutzgesetzes (Verordnung über Luftqualitätsstandards und Emissionshöchstmengen 39. BlmSchV) in der Fassung der Bekanntmachung vom 2. August 2010 (BGBI. I S. 1065).
- /3/ Verordnung über die Verwertung von Abfällen auf Deponien über Tage und zur Änderung der Gewerbeabfallverordnung vom 25. Juli 2005.
- 74/ Technische Regeln für Gefahrstoffe (TRGS) 519 "Asbest-, Abbruch-, Sanierungsoder Instandhaltungsarbeiten" – Bek. D. BMAS v. 23.1.2007 – III b 3-35125–5
- VDI 3790, Blatt 3: Emissionen von Gasen, Gerüchen und Stäuben aus diffusen Quellen. Lagerung, Umschlag und Transport von Schüttgütern. Mai 1999
- VDI 3790, Blatt 2: Emissionen von Gasen, Gerüchen und Stäuben aus diffusen Quellen. Deponien. Dezember 2000
- /7/ Environmental Protection Agency (EPA): Emissions Factors & AP 42, Compilation of Air Pollutant Emission Factors, Fifth Edition, Volume I, Chapter 13: Miscellaneous Sources, Paved Roads, Draft Section vom10. Juni 2010
- /8/ Telefonat mit Herrn Schnibben (Dr. Born Dr.Ermel GmbH Ingenieure) vom 24.11.2009
- /9/ Müller-Westermeier, G.: Klimadaten von Deutschland Zeitraum 1961-1990. Selbstverlag des Deutschen Wetterdienstes. Offenbach am Main: 1996
- /10/ Handbuch Emissionsfaktoren des Straßenverkehrs, Version 2.1, INFRAS AG, CH-3007 Bern, im Auftrag des Umweltbundesamtes Berlin, Februar 2004.

- /11/ VDI-Richtlinie 3783, Blatt 8: Umweltmeteorologie Messwertgestützte Turbulenzparametrisierung für Ausbreitungsmodelle. Dezember 2002
- /12/ VDI-Richtlinie 3945, Blatt 3: Umweltmeteorologie Atmosphärische Ausbreitungsmodelle – Partikelmodell. September 2000
- /13/ Deutscher Wetterdienst (DWD): Amtliches Gutachten. Qualifizierte Prüfung (QPR) der Übertragbarkeit einer Ausbreitungsklassenstatistik (AKS) bzw. einer Ausbreitungszeitreihe (AKTerm) nach TA Luft 2002 auf einen Standort bei 27419 Freetz. Hamburg, 15. September 2010

## **Anhang**

#### Eingabedatei Rechenlauf Bremervörde

```
-- AUSTAL2000-Eingaben erzeugt mit:
-- AUSTAL View Ver. 6.4.4
-- (c) Lakes Environmental Software Inc.
-- ArguSoft GmbH & Co KG
-- Datum: 24.11.2010
-- Optionen Projektion
-- PROJCTN CoordinateSystemGK
-- DESCPTN GK: Gauß-Krüger (3-Grad-Streifen)
-- DATUM DHDN/PO
                 DHDN/POTSAM (Rauenberg/Bessel ellipsoid)
-- UNITS
-- ZONE
-- STEUERUNGS-OPTIONEN
                                                                  'Projekt-Titel
ti "Haaßel05BremervördeGelände"
gx 3517500
                                                                  'x-Koordinate des Bezugspunktes
gy 5916000
                                                                  'y-Koordinate des Bezugspunktes
z0 0.02
                                                                  'Rauhigkeitslänge
qs 1
                                                                  'Oualitätsstufe
-- METEO-OPTIONEN
-- Ort: BREMERVOERDE
-- Jahr: 1981 - 1990
as "F:\Bereiche\UBB\PGU\Wetterdaten\aks-akterm\Bremervörde_8190.aks" 'AKS-Datei
                                                                  'x-Koordinate des Anemometers
ya - 453.00
                                                                  'y-Koordinate des Anemometers
ha 10
    _____
-- RECHENGITTER
                                                                 'Zellengröße (m)
x0 -1143
                                                                  'x-Koordinate der l.u. Ecke des Gitters
nx 70
                                                                  'Anzahl Gitterzellen in X-Richtung
y0 -728
                                                                  'y-Koordinate der l.u. Ecke des Gitters 'Anzahl Gitterzellen in Y-Richtung
ny 70
-- GELÄNDE-OPTIONEN
gh *
                                            'Gelände-Datei
-- QUELLEN-PARAMETER
-- xq = x-Koordinate der Quelle
-- yq = y-Koordinate der Quelle
-- hq = Höhe der Quelle (m)
-- aq = Länge in X-Richtung (m)
-- bq = Länge in Y-Richtung (m)
-- cq = Länge in Z-Richtung (m)
-- wq = Drehwinkel der Quelle (Grad)
-- vq = Abgasgeschw. der Quelle (m/s)
-- dq = Durchmesser der Quelle (m)
-- qq = Wärmestrom der Quelle (MW)
    sq = Zeitskala
-- lq = Flüssigwassergehalt des Schwadens (kg/kg)
-- rq = Relative Feuchte des Schwadens (%)
-- tq = Austrittstemperatur (°C)

        V01
        V02
        V03
        V04
        V05

        -126.23
        151.62
        -28.42
        -11.65
        45.93

        188.13
        144.53
        -41.74
        -58.98
        -63.01

        0.00
        0.00
        0.00
        0.00
        0.00

        281.35
        259.92
        23.89
        57.77
        175.00

        0.00
        0.00
        0.00
        0.00
        3.00

        350.96
        225.58
        314.16
        356.00
        345.13

        0.00
        0.00
        0.00
        0.00
        0.00

        0.00
        0.00
        0.00
        0.00
        0.00

        0.00
        0.00
        0.00
        0.00
        0.00

        0.00
        0.00
        0.00
        0.00
        0.00

        0.00
        0.00
        0.00
        0.00
        0.00

        0.00
        0.00
        0.00
        0.00
        0.00

                                                                                                       VU6
39.43
∘7.04
xq 39.43
                                                                                                                                  39.43
yq - 87.04
                                                                                             -63.01
                                                                                                               -87.04
                                                                                                                                  -87.04
hq 0.00
                                                                                                               0.00
                                                                                                                                  0.00
aq 200.00
                                                                                             175.00
                                                                                                              200.00
                                                                                                                                 200.00
                                                                                            0.00
bq 50.00
                                                                                                               50.00
cq 3.00
                                                                                                              3.00
                                                                                                                                 3.00
                                                                                            345.13
0.00
0.00
                                                                                                              345.13
0.00
0.00
wq 345.13
                                                                                                                                  -14.87
vq 0.00
dq 0.00
                                                                                                                                  0.00
                                                                                                                                  0.00
                                                                                                              0.000
qq 0.000
                                                                                                                                  0.000
sq 0.00
                                                                                                               0.00
```

lq 0.0000 rq 0.00 tq 0.00	0.00	0.00	0.0000 0.00 0.00	0.00	0.00	0.00	0.00
EMISSIONE	IN						
pm-1 0.01068 pm-2 0.01068 pm-3 0 pm-4 0 pm-u 0.08549 xx-1 0.01068  MONITOR-P ======= xp = x-Ko yp = y-Ko	0.00067 0.00198 0.01109 0.01265 0.01679 0.00067	159879 0.000 21908 0.0016 2765 0.00911 6007 0.01040 0 159879 0.000 	55080777 0.00 293629 0.0005 82642 0.00316 3251 0.003615 0 55080777 0.00	56618981 0.0 585196 0.013 50416 0.0316 0	.00050760224 045461894 0. 769348 0.020 92546 0.0480	0.000768828 0068857811 0 855426 0.015 02385 0.0361	721865 0
xp 2.76	-36.07	-74.86	BUP_4 -1059.31	515.97			
yp -475.92 hp 1.50			-228.38 1.50				
*							

#### Eingabedatei Rechenlauf Bremen

```
-- AUSTAL2000-Eingaben erzeugt mit:
-- AUSTAL View Ver. 6.4.4
-- (c) Lakes Environmental Software Inc.
-- ArguSoft GmbH & Co KG
-- Datum: 24.11.2010
                                                                                       Datei:
-- Optionen Projektion
-- PROJCTN CoordinateSystemGK
-- DESCPTN GK: Gauß-Krüger (3-Grad-Streifen)
-- DATUM DHDN/POTSAM (Rauenberg/Bessel ellipsoid)
-- DTMRGN Germany
-- UNITS m
-- UNITS
          m
-- ZONE
-- STEUERUNGS-OPTIONEN
ti "Haaßel07BremenGelände"
                                      'Projekt-Titel
gx 3517500
                                       'x-Koordinate des Bezugspunktes
gy 5916000
                                       'y-Koordinate des Bezugspunktes
z0 0.02
                                       'Rauhigkeitslänge
                                       'Oualitätsstufe
qs 1
-- METEO-OPTIONEN
-- Ort: BREMEN (MIT LW-DATEN)
-- Jahr: 1996 - 2005
as "F:\Bereiche\UBB\PGU\Wetterdaten\aks-akterm\Bremen_96x05.aks" 'AKS-Datei
xa -487.00
                                      'x-Koordinate des Anemometers
ya -453.00
                                       'y-Koordinate des Anemometers
ha 7.4
-- RECHENGITTER
x0 -1143
                                       'x-Koordinate der l.u. Ecke des Gitters
nx 70
                                       'Anzahl Gitterzellen in X-Richtung
y0 -728
                                       'y-Koordinate der l.u. Ecke des Gitters
ny 70
                                       'Anzahl Gitterzellen in Y-Richtung
-- GELÄNDE-OPTIONEN
gh *
                          'Gelände-Datei
-- OUELLEN-PARAMETER
---
-- xq = x-Koordinate der Quelle
-- vg = v-Koordinate der Ouelle
-- hq = Höhe der Quelle (m)
  aq = Länge in X-Richtung (m)
-- bq = Länge in Y-Richtung (m)
-- cq = Länge in Z-Richtung (m)
-- wq = Drehwinkel der Quelle (Grad)
-- vq = Abgasgeschw. der Quelle (m/s)
  dq = Durchmesser der Quelle (m)
-- qq = Wärmestrom der Quelle (MW)
-- sq = Zeitskala
-- lq = Flüssigwassergehalt des Schwadens (kg/kg)
-- rq = Relative Feuchte des Schwadens (%)
-- tq = Austrittstemperatur (°C)
V05 V06
45.93 39.43
-63.01 -87.04
0.00
                                                                            39.43
                                                                            -87.04
                                                                0.00
200.00
50.00
                                                                            0.00
                                                       175.00
                                                                           200.00
                                                      0.00
                                                                3.00
345.13
0.00
0.00
                                                                           3.00
                                                       345.13
                                                                            -14.87
                                                      0.00
                                                                            0.00
                                                                            0.00
                                                                0.000
0.00
0.0000
                                                      0.000
                                                       0.0000
                                                                            0.0000
                                                       0.00
                                                                 0.00
                                                                            0.00
                                                                 0.00
                                                                            0.00
```

#### Eingabedatei Rechenlauf Hamburg

```
-- AUSTAL2000-Eingaben erzeugt mit:
-- AUSTAL View Ver. 6.4.4
 -- (c) Lakes Environmental Software Inc.
 -- ArguSoft GmbH & Co KG
 -- Datum: 24.11.2010
                                                                                                                                                                                             Datei:
\verb|D:\projekte| b pgupqu_2010\\| 10PGU149\_Deponie Haaßel_TLi\\| Haaßel07\_Gel \ddot{a}nde_Hamburg\\| austal 2000.txt|| txt|| tx
 -- Optionen Projektion
 -- PROJCTN CoordinateSystemGK
 -- DESCPTN GK: Gauß-Krüger (3-Grad-Streifen)
-- DATUM DHDN/POTSAM (Rauenberg/Bessel ellipsoid)
-- DTMRGN Germany
-- UNITS m
-- UNITS
                     m
 -- ZONE
 -- STEUERUNGS-OPTIONEN
ti "Haaßel07HamburgGelände"
                                                                                     'Projekt-Titel
gx 3517500
                                                                                    'x-Koordinate des Bezugspunktes
 gy 5916000
                                                                                     'y-Koordinate des Bezugspunktes
 z0 0.02
                                                                                     'Rauhigkeitslänge
                                                                                     'Oualitätsstufe
qs 1
 -- METEO-OPTIONEN
-- Ort: HAMBURG-FUHLSBUETTEL
 -- Jahr: 01.01.1997 - 31.12.2006
as "F:\Bereiche\UBB\PGU\Wetterdaten\aks-akterm\Hamburg_9706.aks" 'AKS-Datei
xa - 487.00
                                                                                    'x-Koordinate des Anemometers
 ya - 453.00
                                                                                     'y-Koordinate des Anemometers
ha 5.0
 -- RECHENGITTER
 x0 -1143
                                                                                     'x-Koordinate der l.u. Ecke des Gitters
nx 70
                                                                                     'Anzahl Gitterzellen in X-Richtung
y0 -728
                                                                                      'y-Koordinate der l.u. Ecke des Gitters
ny 70
                                                                                     'Anzahl Gitterzellen in Y-Richtung
-- GELÄNDE-OPTIONEN
 gh *
                                                          'Gelände-Datei
-- OUELLEN-PARAMETER
 ---
-- xq = x-Koordinate der Quelle
 -- vg = v-Koordinate der Ouelle
 -- hq = Höhe der Quelle (m)
      aq = Länge in X-Richtung (m)
 -- bq = Länge in Y-Richtung (m)
-- cq = Länge in Z-Richtung (m)
 -- wq = Drehwinkel der Quelle (Grad)
 -- vq = Abgasgeschw. der Quelle (m/s)
      dq = Durchmesser der Quelle (m)
 -- qq = Wärmestrom der Quelle (MW)
-- sq = Zeitskala
 -- lq = Flüssigwassergehalt des Schwadens (kg/kg)
-- rq = Relative Feuchte des Schwadens (%)
 -- tq = Austrittstemperatur (°C)
V06
39.43
-87.04
                                                                                                                                                                       39.43
                                                                                                                         -63.01
                                                                                                                                                                       -87.04
                                                                                                                                             0.00
200.00
50.00
                                                                                                                                                                      0.00
                                                                                                                        175.00
                                                                                                                                                                     200.00
                                                                                                                       0.00
                                                                                                                                             3.00
345.13
0.00
0.00
                                                                                                                                                                     3.00
                                                                                                                        345.13
                                                                                                                                                                      -14.87
                                                                                                                       0.00
                                                                                                                                                                      0.00
                                                                                                                                                                      0.00
                                                                                                                                             0.000
0.00
0.0000
                                                                                                                                                                      0.000
                                                                                                                         0.0000
                                                                                                                                                                       0.0000
                                                                                                                         0.00
                                                                                                                                               0.00
                                                                                                                                                                       0.00
                                                                                                                                               0.00
                                                                                                                                                                       0.00
```

```
-- EMISSIONEN
                                      V02
                                                      V03
                                                                       V04
                                                                                        V05
     U01
                      V01
                                                                                                        V06
pm-1 0.01068679 0.00067159879 0.00055080777 0.00019140104 0.00050760224 0.00076882804 0.0005794331 ?
pm-2 0.01068679 0.0019821908 0.0016293629 0.00056618981 0.0045461894 0.0068857811 0.005190847 ?
pm-3 0 0.011092765 0.0091182642 0.0031685196 0.013769348 0.020855426 0.015721865 0
pm-4 0 0.012656007 0.010403251 0.0036150416 0.031692546 0.048002385 0.036186605 0
pm-u 0.085494319 0
                                       0
                                                                       0
                                                                                        0
                                                       Ω
xx-1 0.01068679 0.00067159879 0.00055080777 0.00019140104 0.00050760224 0.00076882804 0.0005794331 ?
-- MONITOR-PUNKTE
-- xp = x-Koordinate des Monitor-Punktes
-- yp = y-Koordinate des Monitor-Punktes
-- hp = Höhe des Monitor-Punktes

    -- BUP_1
    BUP_2
    BUP_3
    BUP_4
    BUP_5

    xp 2.76
    -36.07
    -74.86
    -1059.31
    515.97

    yp -475.92
    -471.94
    -461.76
    -228.38
    1427.28

    hp 1.50
    1.50
    1.50
    1.50
```

#### Alle Rechenläufe:

#### Eingabedateien windinduzierte Quellen (Quelle A01) Parameter pm-1, pm-2, xx-1

```
dims
lowb
                                                                                                1
hghb
                                                                                             6
                                                                                             "%10.4e"
"i,j"
form
sequ
                                                                                             "text"
mode
fact
          0.000{\pm}+000 \ 0.000{\pm}+000 \ 0.000{\pm}+000 \ 0.000{\pm}+000 \ 1.103{\pm}-001 \ 1.103{\pm}-001 \ 1.103{\pm}-001 \ 1.103{\pm}-001 \ 1.103{\pm}-001
          0.000{\pm}+000 \ 0.000{\pm}+000 \ 0.000{\pm}+000 \ 0.000{\pm}+000 \ 1.103{\pm}-001 \ 1.103{\pm}-001 \ 1.103{\pm}-001 \ 1.103{\pm}-001 \ 1.103{\pm}-001
            0.000E+000 \ \ 0.000E+000 \ \ 0.000E+000 \ \ 0.000E+000 \ \ 1.103E-001 \ \ \ 1.103E-001 \ \ 1.
          0.000E+000 0.000E+000 0.000E+000 0.000E+000 1.103E-001 1.103E-001 1.103E-001 1.103E-001 1.103E-001 1.103E-001 0.000E+000 0.000E+000 0.000E+000 1.103E-001 
           0.000E + 000 \ \ 1.103E - 001 \ \ 0.000E + 000 \ \ 0.0
```

#### Eingabedateien windinduzierte Quellen (Quelle A01) Parameter pm-u

```
dims
lowb
hghb
         6
size
         4
          "%10.4e"
form
          "i,j"
seau
         "text"
mode
 0.000E+000 0.000E+000 0.000E+000 0.000E+000 8.826E-001 8.826E-001 8.826E-001 8.826E-001 8.826E-001
 0.000E+000 0.000E+000 0.000E+000 0.000E+000 8.826E-001 8.826E-001 8.826E-001 8.826E-001 8.826E-001
 0.000E+000 0.000E+000 0.000E+000 0.000E+000 8.826E-001 8.826E-001 8.826E-001 8.826E-001
 0.000E+000 0.000E+000 0.000E+000 0.000E+000 8.826E-001 8.826E-001 8.826E-001 8.826E-001 8.826E-001
 0.000{\pm}+000 \ 0.000{\pm}+000 \ 0.000{\pm}+000 \ 0.000{\pm}+000 \ 0.000{\pm}+000 \ 8.826{\pm}-001 \ 8.826{\pm}-001 \ 8.826{\pm}-001 \ 8.826{\pm}-001 \ 8.826{\pm}-001
 0.000{E} + 000 \ \ 8.826{E} - 001 \ \ 8.826{E} - 001
```

Tabelle 9: Zusatzbelastung durch die Deponie an den Aufpunkten bei Verwendung der meteorologischen Daten der Station Hamburg

Auf- punkt		Staub- niederschlag	PM10	PM2.5
pulikt		mg/(m²*d)	μg/m³	μg/m³
	Zusatzbelastung	1,3	0,3	0,1
BUP_1	Stat. Stichprobenfehler	1,6%	0,4%	0,4%
	Zusatzbelastung inkl. Stichprobenfehler	1,3	0,3	0,1
	Zusatzbelastung	1,7	0,4	0,2
BUP_2	Stat. Stichprobenfehler	1,7%	0,4%	0,4%
	Zusatzbelastung inkl. Stichprobenfehler	1,7	0,4	0,2
	Zusatzbelastung	1,7	0,4	0,2
BUP_3	Stat. Stichprobenfehler	1,7%	0,4%	0,4%
	Zusatzbelastung inkl. Stichprobenfehler	1,7	0,4	0,2
	Zusatzbelastung	0,4	0,1	0,1
BUP_4	Stat. Stichprobenfehler	3,4%	0,9%	0,8%
	Zusatzbelastung inkl. Stichprobenfehler	0,4	0,1	0,1
	Zusatzbelastung	0,2	0,0	0,0
BUP_5	Stat. Stichprobenfehler	4,3%	1,3%	1,3%
	Zusatzbelastung inkl. Stichprobenfehler	0,2	0,0	0,0

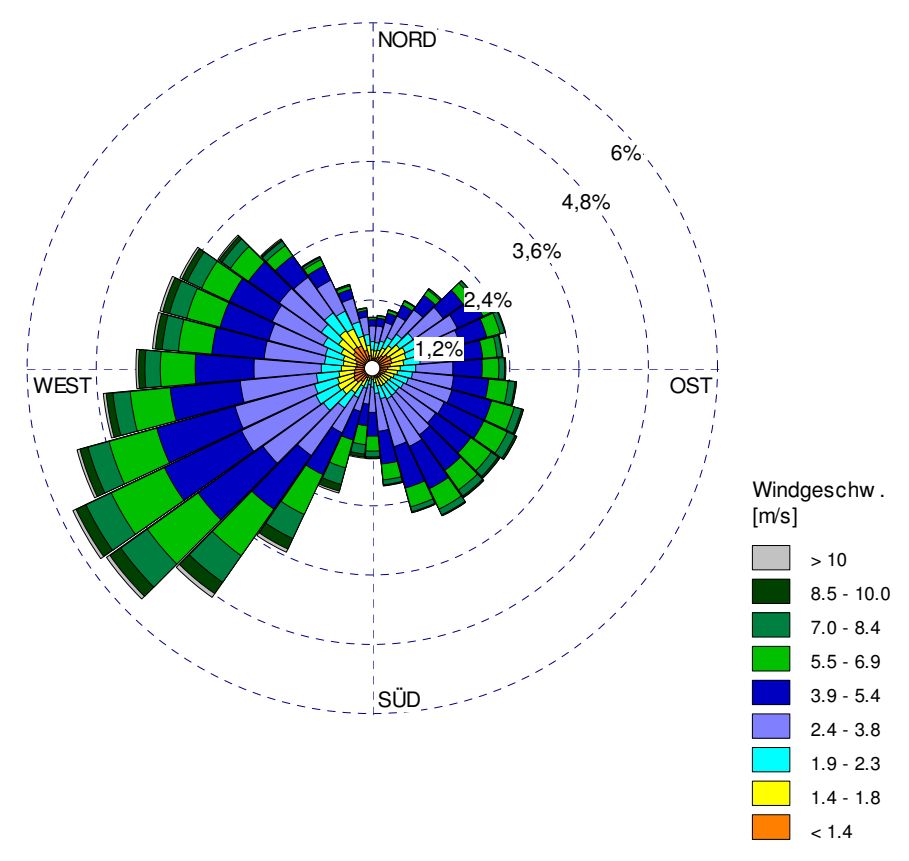


Abbildung 10: Windrose Hamburg 1997-2006

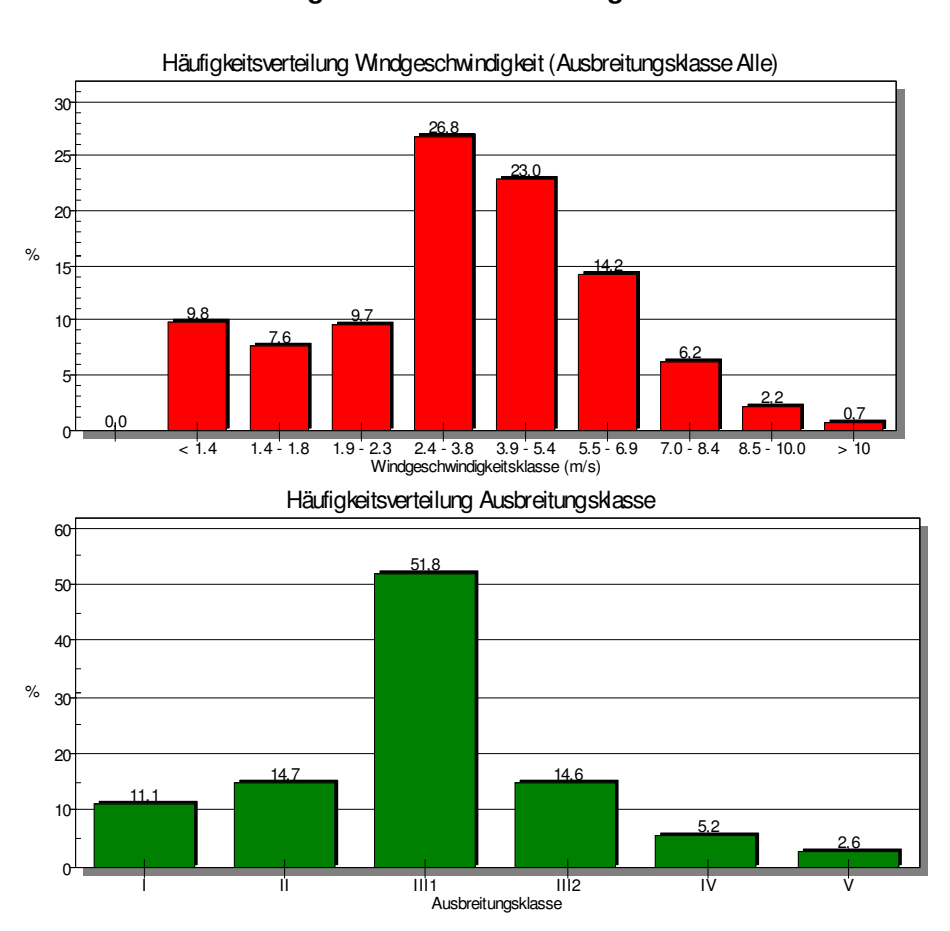


Abbildung 11: Windgeschwindigkeits- und Ausbreitungsklassen Hamburg 1997-2006

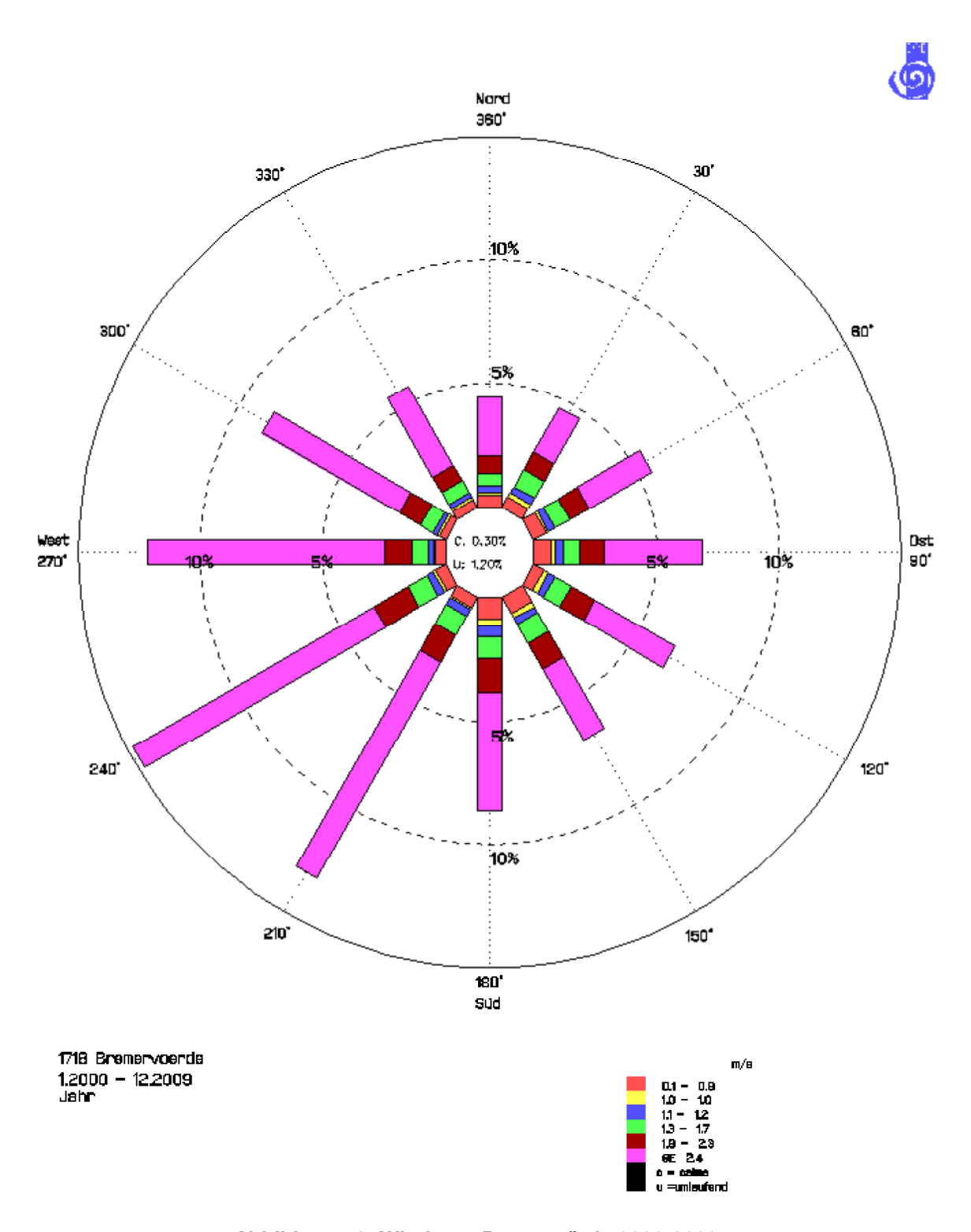


Abbildung 12: Windrose Bremervörde 2000-2009

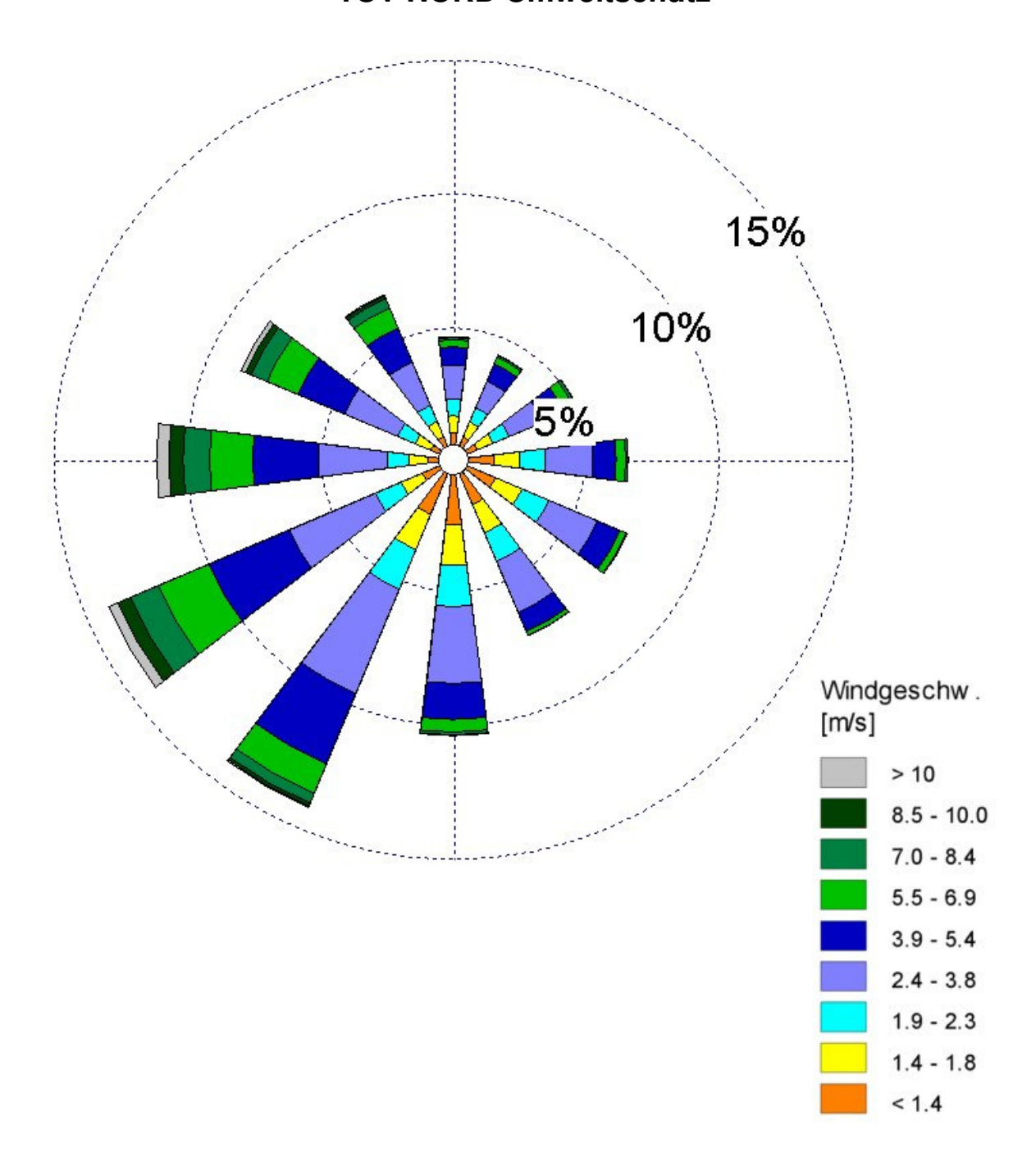


Abbildung 13: Windrose Bremervörde 1981-1990 als 12-teilige Windrose